

تخمین ذخیره کانسار آهن با استفاده از مدل‌سازی سه‌بعدی داده‌های

مغناطیس‌سنگی زمینی

علی بیاتی^۱, اندیشه علی‌مرادی^۲, حمید سرخیل^۳

^۱کارشناس ارشد مهندسی معدن، دانشکده فنی و مهندسی، دانشگاه بین‌المللی امام خمینی(ره)، Bayatia37@gmail.com

^۲استادیار گروه مهندسی معدن، دانشکده فنی و مهندسی، دانشگاه بین‌المللی امام خمینی(ره)، Alimoradi@eng.ikiu.ac.ir

^۳دانشیار گروه زمین‌شناسی کاربردی، دانشکده علوم زمین، دانشگاه خوارزمی، Sarkheil@knu.ac.ir

چکیده

مغناطیس‌سنگی یکی از روش‌های اکتشاف ژئوفیزیکی است که با مطالعه تغییرات میدان مغناطیسی زمین به مطالعه ساختارهای زیرسطحی می‌پردازد. در این روش با اندازه‌گیری خاصیت مغناطیسی سنگ‌ها و کانی‌هایی که در میدان مغناطیسی زمین ایجاد بی‌هنجاری می‌نمایند می‌توان محدوده بی‌هنجاری‌های مغناطیسی را با دقت قابل قبولی در مراحل اولیه اکتشاف و حتی در مراحل اکتشاف در حین استخراج تعیین و محل حفاری‌ها را با توجه به نقشه‌های حاصل از فیلترهای متنوع مغناطیسی تهیه شده، مشخص نمود.

تحقیق حاضر، اکتشاف ژئوفیزیکی بر روی یک کانسار سنگ آهن واقع در نزدیکی شهر زنجان می‌باشد، در این تحقیق داده‌های اکتشافی مورد مطالعه از نوع مغناطیسی زمینی بوده که پس از برداشت و تصحیحات انجام شده بر روی داده‌ها، تحلیل‌ها و مطالعاتی بر روی این محدوده مستعد کانی‌سازی آهن انجام پذیرفت. محدوده مورد مطالعه دارای وسعت ۶ هکتاری است که در یک مرحله مورد مساحی ژئوفیزیکی - مگنتومتری قرار گرفت، به طوری که برداشت‌های مگنتومتری بر روی ۱۵۰۰ ایستگاه توسط گروه ژئوفیزیک انجام شد. بعد از برداشت داده‌های مغناطیسی زمینی، این داده‌ها تصحیح گردیده و سپس مطالعات کمی و کیفی بر روی این داده‌ها نشان داد که این محدوده دارای نهشته‌های متعدد آهن می‌باشد.

درنهایت پس از مطالعات، بررسی‌ها و تحلیل‌های انجام شده، هدف اصلی که تعیین محل دقیق بی‌هنجاری‌ها، مشخص کردن مرز آن‌ها و تخمین ذخیره کانسار آهن با استفاده از روش مغناطیس‌سنگی بود، انجام پذیرفت.

واژه‌های کلیدی: مغناطیس‌سنگی، کانسار آهن، تخمین ذخیره، مدل‌سازی سه‌بعدی

Reserve estimation of Iron ore deposit using ground magnetic data and 3D modeling

Ali Bayati¹, Andisheh Alimoradi², Hamid Sarkheil³

¹Department of Mining Engineering, Faculty of Engineering, Imam Khomeini International University, Qazvin, Iran

²Department of Mining Engineering, Faculty of Engineering, Imam Khomeini International University, Qazvin, Iran

³Department of Applied Geology, Faculty of Earth Sciences, Kharazmi University, Karaj, Iran

Abstract

Magnetometry is one of the methods of geophysical exploration that studies subsurface structures by studying the changes in the earth's magnetic field. In this method, by measuring the magnetic properties of rocks and minerals that create anomalies in the earth's magnetic field, the range of magnetic anomalies can be determined with acceptable accuracy in the early stages of exploration and even in the stages of exploration, due to the maps obtained from various magnetic filters.

The present study is a geophysical exploration on an iron ore deposit located near the city of Zanjan. Prone to iron mineralization. The study area has an area of 15 hectares, which was

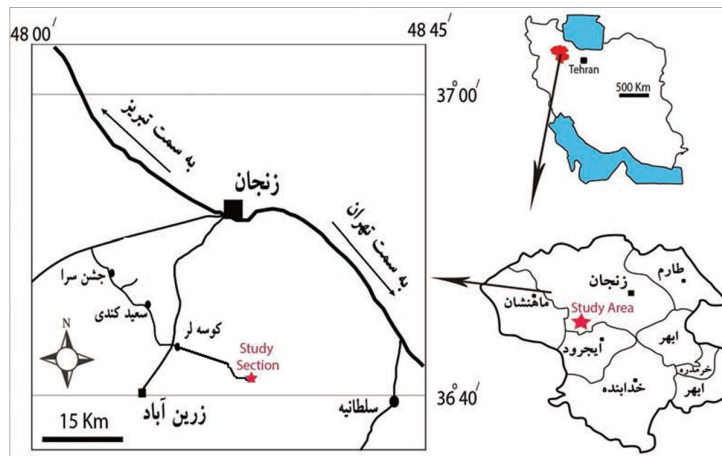
surveyed in one stage geophysical-magnetometric, so that magnetometric surveys were performed on 1500 stations by the geophysical group. After picking up the ground magnetic data, these data were corrected and then quantitative and qualitative studies on these data showed that this range has multiple iron deposits.

Finally, after studies, studies and analyzes, the main goal was to determine the exact location of the anomalies, determine their boundaries and estimate the iron ore reserve using the magnetometric method.

Keywords: Magnetometry, Iron deposit, Reserve estimation, 3D modeling

۱. مقدمه

کاوش‌های مغناطیسی متضمن اندازه‌گیری میدان مغناطیسی است. روش‌های مغناطیسی نظیر روش‌های گرانی، رادیواکتیو و محدود روش‌های الکتریکی کم اهمیت یکی از روش‌های چشم‌های طبیعی یا غیرفعال است که در آن تغییرات ناحیه‌ای در مغناطیس سنگ‌های نزدیک به سطح زمین باعث تغییرات جزئی و کوچک در میدان مغناطیسی اصلی زمین می‌شوند. روش‌های مغناطیسی و گرانی از چندین جهت مشابه یکدیگرند. در هر دو روش کوشش بر این است که اختلاف‌های اندک در میدان نیروی نسبتاً بزرگ اندازه‌گیری شود. میدان‌های اصلی در دو حالت نسبت به مکان و تابعیت به زمان متغیرند و در هر دو روش امکان تعیین میدان‌های مطلق وجود دارد. در عین حال چندین تفاوت مشخص اساسی بین کاوش‌های مغناطیسی و گرانی وجود دارد. هدف از عملیات مغناطیسی‌سنجدی، شناخت عوارض زیرسطحی زمین به کمک اندازه‌گیری میدان مغناطیسی می‌باشد. قدمت زیادی که این روش نسبت به روش‌های دیگر دارد، باعث شده تا ابزارهای بسیار دقیق‌تر و کاربردی‌تری برای این روش ساخته شوند و متخصصان بیشتری از این روش استفاده کنند و در نتیجه، بسیاری از مشکلات در زمینه پردازش و تفسیر داده‌ها رفع شوند. محدوده اکتشافی مورد مطالعه در ۳۰ کیلومتری شهر زنجان در مسیر جاده زنجان به بیجار قرار دارد. محدوده مورد مطالعه در شمال شرق ورقه یکصد هزار هکتار واقع شده است. شکل ۱ موقعیت قرارگیری و راههای دسترسی به محدوده اکتشافی را نمایش می‌دهد.

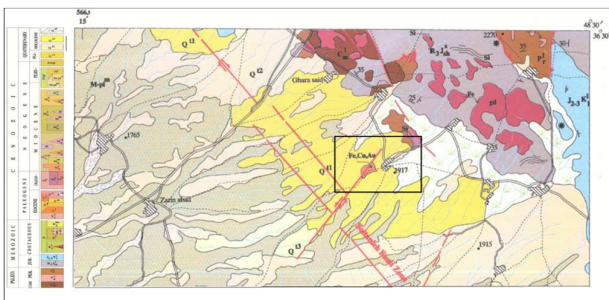


شکل ۱. موقعیت قرارگیری و راههای دسترسی به محدوده اکتشافی.

زمین‌شناسی منطقه

در منطقه مورد مطالعه، واحدهای زمین‌شناسی بیشتر متعلق به پرکامبرین پسین-کامبرین پیشین و از قدیم به جدید شامل شیل‌های اسلیتی رسی میکادر سازند که، شیل‌ها و ماسه‌سنگ‌های سرخ رنگ سازند بایندور، دولومیت‌ها

و شیل‌های سبز رنگ سازند سلطانیه، شیل‌ها و ماسه‌سنگ‌های سازند باروت، ماسه‌سنگ‌های سرخ رنگ سازند لالون، واحد کوارتزی سفیدرنگ (کوارتزیت بالایی)، سنگ‌های آهکی سازند میلا و در پایان ماسه‌سنگ‌های سازند دورود است. به دلیل فعالیت زیاد فرآیندهای زمین‌ساختی در منطقه مورد مطالعه، همراه با این سازنددها، رخمنون‌هایی از تهشیت‌های جوان‌تر مانند سازنددهای کرج و فجن نیز به میزان کمتر در منطقه بروند دارد. سازند سلطانیه در ۳۵ کیلومتری جنوب باختر زنجان، ۹۸۵ متر سمترا دارد، که بیشتر از لایه‌های متوسط تا ستبرلایه دولومیت و لایه‌های نازک شیل تشکیل شده است. لایه‌های دولومیتی سازند سلطانیه از استروماتولیت، گرهک‌ها و نوارهای چرتی بسیاری تشکیل شده است.



شکل ۲. نقشه زمین‌شناسی محدوده.

۲. روش تحقیق

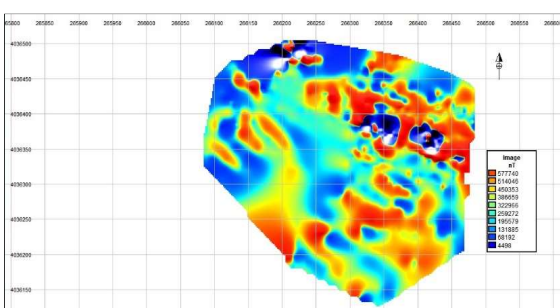
تفسیر و مدل‌سازی داده‌های مغناطیسی یکی از روش‌های کارآمد برای به دست آوردن خودپذیری مغناطیسی، شکل و ژرفای توده‌های مغناطیسی پنهان است [۷]. تفسیر بی‌亨جاري‌های مغناطیسی و گرانی به دلیل مبهم بودن این بی‌亨جاري‌ها سخت و پیچیده است [۸]. هدف اصلی و مهم تفسیر داده‌های مغناطیسی، تخمين پارامترهای مدل ساختارهای مدفون است، به همین منظور روش‌های متعددی برای تفسیر پیشنهاد شده است.

پس از برداشت داده‌ها، تصحیحات ضروری بر روی داده‌ها انجام پذیرفت و نهایتاً نقشه شدت میدان مغناطیسی کل ترسیم می‌شود [۱۸]، سپس فیلتر برگردان به قطب برای قرارگرفتن بی‌亨جاري‌ها بر روی منشاً ایجادکننده بی‌亨جاري‌ها اعمال می‌گردد [۱۳]، بعداز آن با توجه به داشتن یا نداشتن اندازه مغناطیس باقی‌مانده و امکانات نرم‌افزاری مناسب تفسیرهای کیفی و کمی انجام می‌گیرد.

طراحی شبکه برداشت

تعداد ۱۵۰۰ ایستگاه مگنتومتری بر محدوده ای مستطیلی حدود ۱۵ هکتار به صورت برداشت‌های منظم و متراکم برداشت گردید که در ادامه کلیه نقشه‌های حاصل از تعبیر و تفسیر در این تحقیق ارائه شده است.

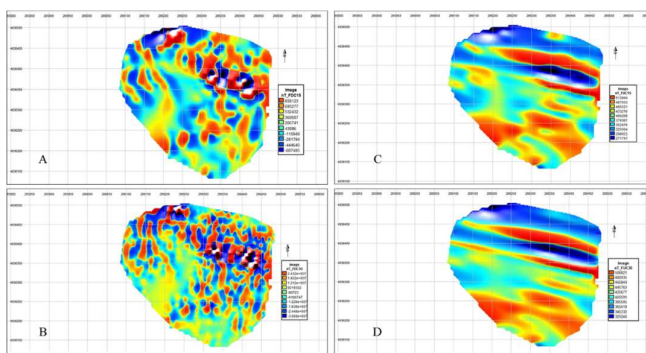
تمامی اندازه‌گیری‌های مغناطیس‌سنجی (داده‌ها) از نظر تغییرات زمان به صورت تنابو ۲ ساعت تصحیح شده و مقادیر شدت میدان مغناطیس در هر نقطه محاسبه و نقشه آن رسم گردید. شکل ۳



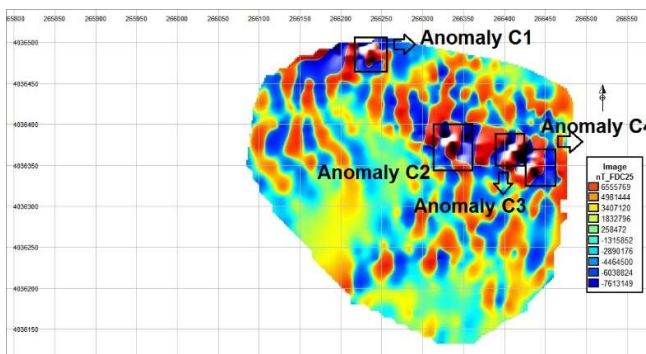
شکل ۳. نقشه شدت میدان کل مغناطیسی محدوده اکتشافی پس از اعمال تصحیحات روزانه و IGRF.

فیلترهای مغناطیسی

برای محاسبه کمی و کیفی بی‌هنگاری‌ها، لازم است فرضیه‌های ساده‌ای در مورد منبع آن‌ها قرار داده شود، چرا که اطلاعات در مورد زمین‌شناسی آن‌ها، موقعیت ماده معدنی و پدیده‌های ساختاری بسیار اندک است [۵]. بدین منظور فیلترهایی بر روی داده‌های برداشت شده اعمال می‌شود تا بتوان با کمترین خطای ممکن به نتایج مطلوب دست پیدا کرد. البته هیچ‌کدام از این عملیات فیلتر کردن به طور کامل آنومالی‌های مطلوب را از غیرمطلوب جدا نمی‌کنند [۶]. شکل ۴



شکل ۴. A و B فیلترهای گسترش رو به پایین (فروسو)، C و D فیلترهای گسترش به بالا (فراسو) برای عمق‌های ۱۵ و ۳۰ متر.



شکل ۵. موقعیت بی‌هنگاری‌های مغناطیسی C1، C2، C3، C4، بر روی نقشه گسترش به پایین(فروسو) در عمق ۲۵ متری.

جدول ۱. مختصات بی‌هنگاری‌های مغناطیسی C1، C2، C3، C4 در محدوده اکتشافی.

آنومالی ژئوفیزیکی	X-Location	Y-Location	عمق قرارگیری	عمق (متر)
C1	4036491	266233	شروع از سطح زمین	تا ۴۰ متری از سطح زمین
C2	4036379	266334	شروع از سطح زمین	تا ۴۰ متری از سطح زمین
C3	4036370	266413	شروع از سطح زمین	تا ۴۰ متری از سطح زمین
C4	4036348	266431	شروع از سطح زمین	تا ۴۰ متری از سطح زمین

مدل‌سازی داده‌های مغناطیس

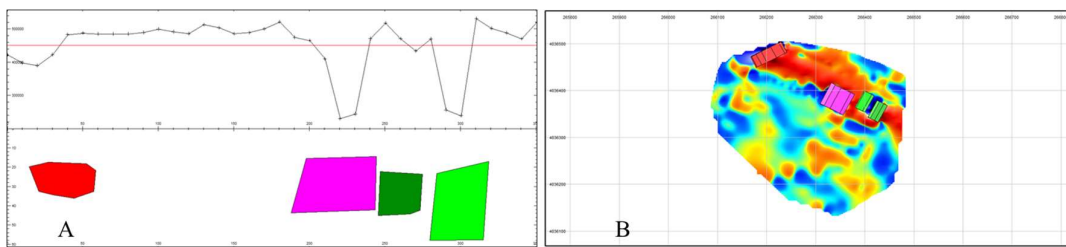
با توسعه و پیشرفت محاسبات عددی، وارون‌سازی داده‌های ژئوفیزیکی از دو بعد تا سه و چهار بعد (بعد چهارم، بعد زمان است) می‌تواند انجام گیرد [۶]. اغلب ساختارهای زمین‌شناسی در طبیعت سه‌بعدی هستند، از طرفی، بیشتر ساختارهای زمین‌شناسی پیچیده تنها می‌توانند به وسیله مدل‌های زیرسطحی سه‌بعدی ژئوفیزیکی یا زمین‌شناسی نشان

داده شوند[۴]، بنابراین به روش‌های تفسیر سه بعدی به طور واضح نیاز پیدا می‌شود و نهایتاً نتایج با دقت دقیق‌تری ارائه می‌شود[۱۷].

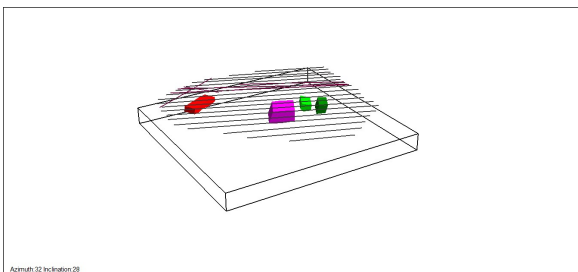
قبل از انجام فرآیند مدل‌سازی، پروفیل‌هایی در راستای عمود به بی‌هنجری‌ها انتخاب شد و مطالعات و بررسی‌ها در این راستاهای انجام گرفت. مدل‌سازی با استفاده از نرم‌افزار مدل‌ویژن پرو ۸,۰۰۰ و داده‌های برداشت شده و بعد از اندازه‌گیری پذیرفتاری نمونه‌های برداشت از معدن در حال استخراج مورد انجام گرفت.

مدل‌های بی‌هنجری‌ها

پس از رسم نقشه‌ها و اعمال تمامی فیلترهای نام برده شده بر روی نقشه برگردان به قطب، پروفیل‌هایی برای مدل‌سازی بر روی بی‌هنجری‌های نمایان شده رسم گردید، سپس با مطالعه و بررسی بر روی این پروفیل‌ها و مطابقت آن‌ها با نمودارهای موجود، توده ماده‌ی معدنی مدل‌سازی شده و شیب و آزیموت آن نیز محاسبه گردید. شکل ۶



شکل ۶. نمودار پروفیل بی‌هنجری‌ها و مدل‌های ساخته شده و مدل بی‌هنجری‌های محدوده بر روی نقشه برگردان به قطب.



شکل ۷. تصویر سه بعدی از مدل‌سازی بی‌هنجری‌های محدوده مورد مطالعه (زاویه انحراف ۲۸ درجه).

پس از مدل‌سازی و تعیین پارامترهای کانسال اعم از طول، عرض، ضخامت، عمق قرار گیری، شکل، شیب، شیب آزیموت و... نوبت به محاسبات تخمین ذخیره می‌رسد. تمامی پارامترها به دست آمده و حجم و تناژماده معدنی محاسبه شده است. جدول ۲

جدول ۲. مشخصات پارامترهای بی‌هنجری‌های منطقه و تخمین ذخیره تناژ نهایی.

ناام بی‌هنجری	رنگ	Susceptibility (SI)*10 ⁻³	طول (m)	عرض (m)	عمق (m)	ضخامت (m)	حجم (m ³)	تناژ (T)
C1	Red	5400	50	20	15	12	12000	55.440
C2	Magenta	5100	60	20	20	20	24000	110.880
C3	Green	4720	30	30	30	20	18000	83.160
C4	Blue	4850	40	20	25	30	24000	110.880

۳. نتیجه‌گیری

بر اساس برداشت‌های مغناطیس‌سنجی زمینی و بررسی‌های زمین‌شناسی نتایج به دست آمده از مغناطیس‌سنجی زمینی، در محدوده معدنی مورد مطالعه، چهار بی‌هنجری مغناطیسی ظاهر شد. این بی‌هنجری‌ها به صورت منقطع و توده‌ای در امتداد هم و با جهات مختلف در نقشه‌های مغناطیسی قابل مشاهده است. در بین این بی‌هنجری‌ها، بی‌هنجری شمال غربی به صورت یک زون پیوسته با امتداد شمال شرقی - جنوب غربی دیده می‌شود و بی‌هنجری‌های محدوده به صورت یک زون منقطع و مرکب از تعدادی بی‌هنجری کوچک‌تر قابل مشاهده است. نتایج اولیه به دست آمده از حفاری‌های عمقی، انطباق بسیار خوبی با بررسی‌های انجام شده در سطح را نشان می‌دهد. تاکنون تا عمق ۲۰ متر، ذخیره‌ای بیش از ۲ هزار تن سنگ آهن مگنتیتی در منطقه مورد تأیید قرار گرفته است و اکتشافات هنگام استخراج ادامه دارد.

گسترش سطحی بی‌هنجری‌ها در نقشه گسترش رو پایین (فیلتر پایین گذر) نشان داده شده است که با توجه به این نقشه، بخش اصلی بی‌هنجری‌ها مربوط به عمق ۲۵ متری و پایین‌تر می‌باشدند. بی‌هنجری اصلی محدوده که با روند شمالی - جنوبی در مرکز ناحیه قابل مشاهده است، با فیلتر ادامه فراسو از ارتفاع ۲۵ متری تا ارتفاع ۴۰ متری از سطح زمین، مدل‌سازی شده است. این مسئله نشان می‌دهد که بی‌هنجری مرکز منطقه تا عمق ۴۵ متری وجود دارد.

نتایج به دست آمده از اندازه‌گیری پذیرفتاری مغناطیسی واحدهای سنگی منطقه نشان می‌دهد که بی‌هنجری مغناطیسی در محدوده با کانی‌سازی آهن در این منطقه مرتبط است. میزان پایین پذیرفتاری مغناطیسی توده‌های نفوذی رخنمون یافته در منطقه و آتراسیون ضعیف آن‌ها نشان می‌دهد که این توده‌ها نقش اصلی در کانی‌سازی آهن را ایفا نکرده‌اند و توده نفوذی مولد کانی‌سازی با فاصله و به احتمال زیاد در اعماق بیشتر قرار دارد که می‌توان گفت در نتیجه گسل‌ها اتفاق افتاده است.

بعد از انجام عملیات ژئوفیزیکی و ارائه گزارش نهایی تمامی محدوده‌های گزارش شده‌ی دارای بی‌هنجری کاملاً صحیح بوده و حفاری‌هایی که در این مناطق انجام شد تمام‌آمیز به ماده معدنی با عیار بالا منجر گردید.

منابع

1. Alimoradi, A., Angorani, S., Ebrahimzadeh, M., Shariat Panahi, M., (2011). Magnetic inverse modeling of a dike using the artificial neural network approach, the journal of near surface geophysics (EAGE), 9, 339-347.
2. A. Moradzadeh, FD. Ardejani, BJ Shokri, H. Sarkheil, M. Osanloo, 2007. A method for coal waste disposal site selection for prevention of environmental impacts, IMWA Symp. 2007: Water in Mining Environments, Italy, 239-243.\
3. A. Sharafi, H. Sarkheil, MK. Hafizi, 2014. Inverse Least-Squares Modeling of Induced Polarization and Resistivity Data to Explore Copper Deposits in the Sarbisheh Ophiolites, Iran, International Journal of Emerging Science and Engineering (IJESE), ISSN: 2319-6378, Volume-2 Issue-12.
4. Behnam, S., Ramazi, H., (2019). Interpretation of geomagnetic data using power spectrum and 3D modeling of Gol-e-Gohar magnetic anomaly, Journal of Applied Geophysics.



5. Blakely, R. J., (1996), "Potential theory in gravity and magnetic application", Cambridge university press.
6. China: Li, S., Li, Y., (2012). Inversion of magnetic anomaly affected by strong remanent magnetization over rugged terrain: A case study from Daye.
7. Damaceno, J., Lopesde Castro, D., (2017). Magnetic and gravity modeling of a Paleogene diabase plug in Northeast Brazil.
8. Ford, K., Keating, P., and Thomas, M. D., (2004). Overview of Geophysical signature Associated with Canadian or Deposits, Geological Survey of Canada, 601 Booth Street, Ottawa, Ontario, K1A0E8.
9. H. Sarkheil, B. Vaseghi, and K. Ziarati, 2014. Analysis of discontinuities and ground waters in the SHORGOL-SALMAS quarry stone mine using geophysical methods, Conference Proceedings, 6th EAGE Saint Petersburg International Conference and Exhibition, Apr 2014, Volume 2014, p.1 – 5. <https://doi.org/10.3997/2214-4609.20140298>.
10. H. Sarkheil, M. Habibi Rad, 2015. 4D Electrical Resistivity Tomography Monitoring of Talesh Mahaleh-Rasht Coastal Aquifer Polluted by Caspian Seawater, Conference Proceedings, Near Surface Geoscience 2015 - 21st European Meeting of Environmental and Engineering Geophysics, Sep 2015, Volume 2015, p.1 – 5. <https://doi.org/10.3997/2214-4609.201413795>.
11. H. Sarkheil, 2016. 4D Magnetic Susceptibility Modelling of Soil Pollution along Tehran-Karaj Highway, along with Fractal Analysis of Pollution, Conference Proceedings, Near Surface Geoscience 2016 - 22nd European Meeting of Environmental and Engineering Geophysics, Sep 2016, Volume 2016, cp-495-00151. <https://doi.org/10.3997/2214-4609.201602052>.
12. H. Sarkheil, H. Hassani, 2009. A new design for geoelectric surveying and inverse 1D and 2D modeling: the case of Karongah lead-zinc mine, 9th International Multidisciplinary Scientific GeoConference (SGEM), Bulgaria.
13. Loke, M. H., & Barker, R. D. (1996). Rapid least-squares inversion of apparent resistivity pseudosections by a quasi-Newton method1. Geophysical prospecting, 44(1), 131-152.
14. Mickus, K., (2006). Magnetic method: Department of Geosciences, Southwest Missouri State University, and Springfield, MO 65804.
15. NGA/BGS - . NGDC, January 2010 - .<http://www.ngdc.noaa.gov>.
16. Sarkheil, H., 2020. Evaluation of Plant Roots Ability to Remove Lead and Zinc Mining Drainage Contamination by Geoelectric Surveys, September 2020 Near Surface Geoscience'20 (EAGE), Serbia.
17. Sasaki, Y., Myeong-Jong, Y., Jihyang C, (2014). 2D and 3D separate and joint inversion of airborne ZTEM and ground AMT data Synthetic model studies. Journal of Applied Geophysics.
18. Telford, W. M., Geldart, L. P., and Sheriff, R. C., (1991). Applied Geophysics: 2nd edition, Cambridge University Press.